

鹿児島高專 正員 内谷 保

1. まえがき

筆者らは先に九州管内に架設供用されている補剛アーチ橋（ランガーブリッジ）を対象として、L=20荷重相当の連行自動車荷重が走行するときの動的応答に基づいて衝撃係数を評価し、車両の各種パラメータの変化に対する若干の考察を行った。しかし、これは無次元解析ではないため個々の橋梁に対する衝撃係数の評価だけに留まっている。本論は補剛アーチ橋の振動数方程式が無次元化できることを利用して、定常ランダムな橋面凹凸を有する補剛アーチ橋の連行車両による運動方程式を無次元化し、無次元パラメータによるかかう橋梁の衝撃係数の評価を行うものである。ただし、ここでは各種無次元パラメータのうちで補剛アーチ橋の諸元より計算される無次元量（以下構造パラメータと云ふ）が衝撃係数に及ぼす影響についてのみ報告する。

2. 連行車両一橋梁系の運動方程式の無次元化

図-1に示すように、N台の連行車両（重量 P_i 、減衰定数 η_i 、固有振動数 ω_i , $i = 1, 2, \dots, N$ ）が定常ランダムな橋面凹凸 $\Delta(x)$ を有する補剛アーチ橋上のある固定された位置で走行中の不規則振動を及ぼしている場合を考える。かかう橋梁の振動数方程式は

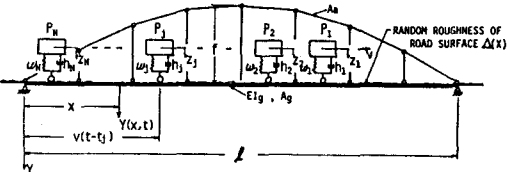


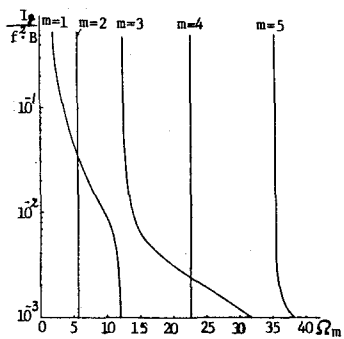
図-1 連行車両一橋梁系の解析モデル

$$F = I_0 / f^2 B = -5/12 / \pi^2 \sum_{m=1}^{\infty} 1/m^2 \sin(m\pi x/\ell) \quad (1)$$

と無次元化され、固有振動モードも次式のように無次元表示できる。

$$\begin{aligned} \phi_m(x) &= \sum_{n=1,3,\dots}^{\infty} [1/n(n^2 - S_m^2/2)] \sin(n\pi x/\ell); \quad m=1,3,\dots \\ \phi_m(x) &= \sin(m\pi x/\ell) \quad ; \quad m=2,4,\dots \end{aligned} \quad (2)$$

ここに、 $F = I_0 / f^2 B$ は前述の構造パラメータと呼ぶ無次元量であり、且 $I_0 S_m^2/2 = \omega^2 / \eta_B$ 、において無次元化された固有振動数である。ただし、 $B = A_a A_g / [A_a + A_g \{1 + 8(3/4)^2 + 19.2(5/4)^2\}]$ 、 $\omega^2 = \pi^2 E I_0 / \rho l^4$ （補剛橋の1次固有振動数）、 P は単位長さ当りの質量である。図-2は F と S_m^2 の関係を示す。



次に、橋梁のたわみ応答 $Y(x,t)$ は定常ランダム過程であり、その平均値からの偏差（動的増加率 $\bar{w}_i(t)$ ）を $\bar{w}_i(t)$ 、各車両の鉛直速度を $\dot{w}_i(t)$ ($i=1, 2, \dots, N$) とす。modal analysis を用いれば $\bar{w}_i(t)$ は m 次の振動モード $\phi_m(x)$ と基準座標 $\bar{z}_m(t)$ を用いて $\bar{w}_i(t) = \bar{z}_m(t) \phi_m(t)$ で表められる。ここに、 $\bar{z}_m(t)$ は平均値零の定常ランダム過程となり連行車両一橋梁系の運動方程式は $\ddot{y}_m(t)$ と $\dot{y}_m(t)$ の連立微分方程式で表められる。そして、この連立微分方程式は次のように無次元化される。

$$\alpha^2 \ddot{z}_m(t) + 2\alpha R_m S_m \dot{z}_m(t) + S_m^2 z_m(t) = -\frac{\alpha^2}{M_m} \sum_{j=1}^N \bar{P}_j \phi_m[m\pi(t-t_j)] \ddot{z}_j(t) \quad (3)$$

$$\alpha^2 \ddot{z}_j(t) + 2\alpha R_j \bar{w}_j \dot{z}_j(t) + \bar{w}_j^2 z_j(t) - \bar{w}_j^2 \sum_{m=1}^{\infty} \bar{P}_j \phi_m[m\pi(t-t_j)] \bar{z}_m(t) = \bar{w}_j^2 \bar{A}(t-t_j) \quad (3)$$

ここに、 $\ell = vt/\ell$ 、 $t_j = vt_j/\ell$ 、 $\alpha = (v/\ell) \sqrt{A/9}$ 、 $A = 288l^4 / \pi^2 EI_0 (-2\pi^2 w_0^2)$ 、 $\bar{z}_m(t) = \bar{w}_m(t)/A$ 、 $\bar{z}_j(t) = \bar{z}_j(t)/A$ 、 $\bar{P}_j = P_j / \rho g l$ 、 $\bar{M}_m = M_m / \rho g l$ 、 $M_m = \int_0^l P \phi_m^2(x) dx$ 、 $\bar{w}_j = \sqrt{2} w_0 / w_j$ 、 $\bar{A}(t) = A(vt)/A$ 。ただし、 v は走行速度、 S_m 、 R_m は橋梁の無次元化された m 次の固有振動数、減衰定数、 i は i 台目の車両が橋梁に進入する時刻で $t_j=0$ とする。

式(3)において、 $\bar{A}(t)$ を定常ランダム入力と考えて $\bar{A}(t) = e^{i\omega_m t}$ とおき、それに対する応答 $\bar{z}_m(t)$ 、 $\bar{z}_j(t)$ の周波数応答関数を $H_{\bar{z}_m}(i\omega)$ 、 $H_{\bar{z}_j}(i\omega)$ ($j=1, 2, \dots, N$) とすれば次式が得られる。

$$H_{\bar{z}_m}(i\omega) = \frac{1}{M_m} \frac{\bar{A}^2}{(\omega_m^2 - \bar{\omega}^2) + 2iR_m S_m \bar{\omega}} \sum_{j=1}^N \bar{P}_j \phi_m[m\pi(t-t_j)] H_{\bar{z}_j}(i\omega) \quad (4)$$

$$[A_{ij}(i\bar{\Omega})][H_{ij}(i\bar{\Omega})] = [B_j(i\bar{\Omega})] \quad (5)$$

ここに、 $\bar{\Omega} = \sqrt{\Omega/N}$ 、 $\bar{\Omega}$ は橋面凹凸の固有振動数とし、 i は虚数を示す。また、 $[A_{ij}(i\bar{\Omega})]$ は $N \times N$ の複素正方行列、 $[H_{ij}(i\bar{\Omega})]$ は N 行の列ベクトルである。式(5)を解いて $H_{ij}(i\bar{\Omega})$ ($j=1, 2, \dots, N$)を求め、これらを式(4)の右辺に代入することにより $H_{ij}(i\bar{\Omega})$ が求められる。いま、橋梁の動的増加たわみは $y(x, t) = \sum_{n=1}^N (x) \tilde{y}_n(t)$ で与えられることで、その2乗平均値（たわみ応答の分散） $D_H(x)$ は定常不規則振動論を用いて次式で与えられる。

$$D_H(x) = E[y^2(x, t)] = \sum_{n=1}^N \phi_n(x) \phi_n(t) E[\tilde{y}_n(t) \tilde{y}_n(t)] = \sum_{n=1}^N \phi_n(x) \phi_n(t) [H_{11}(i\bar{\Omega}) H_{11}^*(i\bar{\Omega}) + H_{12}(i\bar{\Omega}) H_{21}^*(i\bar{\Omega})] S_{\bar{\Omega}}(t) \quad (6)$$

ここに、*印は共役複素数を表わし、 $S_{\bar{\Omega}}(t)$ は無次元化された橋面凹凸 $\bar{\Omega}(t)$ のパワースペクトル密度で $S_{\bar{\Omega}}(t) = \gamma / (\bar{\Omega}^2 + \beta^2)$ と表わされる。ただし、 $\gamma = 2\sqrt{2}\pi v_0 a / I^2 w_0$ 、 a は橋面の長さを示す定数。また、曲げモーメント応答の分散 $D_Y(x)$ は $y(x, t)$ を用いて次式で与えられる。

$$D_Y(x) = E[(-EI_y(\partial y(x, t)/\partial x))^2] = (EI_y/I)^2 \sum_{n=1}^N (m\omega_n^2)(n\pi)^2 \phi_n(x) \phi_n(t) E[\tilde{y}_n(t) \tilde{y}_n(t)] \quad (7)$$

次に、構梁の衝撃係数は式(6)、(7)で求められたたわみ応答および曲げモーメント応答の標準偏差 $\sigma_H(x)$ 、 $\sigma_Y(x)$ を用いて次式で評価する。

$$\lambda_Y = 2\sigma_Y(x) / Y_{st, max}(x) \quad (8)a, \quad Y_H = 2\sigma_H(x) / M_{st, max}(x) \quad (8)b$$

ここに、 λ_Y 、 Y_H はたわみ応答および曲げモーメント応答に基づく衝撃係数、 $Y_{st, max}(x)$ 、 $M_{st, max}(x)$ は無次元量を用いて求めた着目点 x の静的最大たわみおよび静的最大曲げモーメントである。

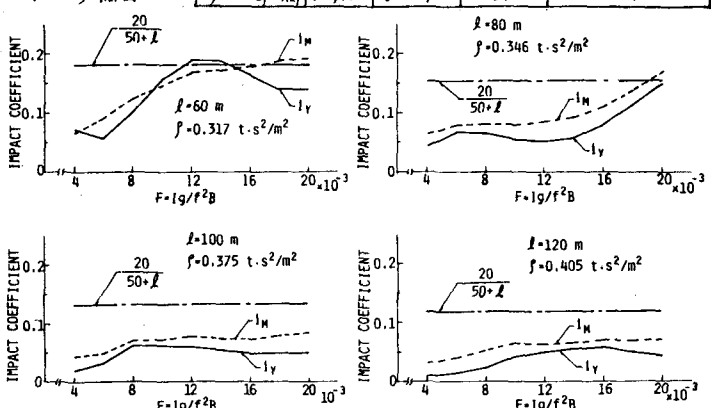
3. 数値計算例

数値計算には支間 $l=50 \sim 130$ m の補剛アーチ橋を対象とし、無次元量と 12 構造パラメータ万の組合せを考え、構造パラメータに及ぼす影響について調べた。連行車両は文獻(1)で用いた L=20 荷重相当の大軽自動車荷重列とし、各車両の固有振動数、減衰定数は一定で $f_0 = 3$ Hz, $\alpha = 0.3$ とした。また、車両の走行速度は $v = 10$ m/s とし、橋面凹凸の良否を示す定数は $\beta = 10^{-3}$ cm/m とした。

表-1 は九州管内における実績橋の諸量

支間 l (m)	構造パラメータ $F = I_g/f^2 B$	単位長当たり の質量 P (kg/m ³)	B	
			$A_1 A_2$	$A_1 + A_2 + 1/(1+6A_1A_2) + 1/(1+6A_1A_2)$
子飼橋	57.2	0.016	0.325	0.0128
銀座橋	62.0	0.015	0.373	0.0160
寺内ダム3号橋	67.0	0.011	0.367	0.0143
赤島大橋	78.95	0.001	0.334	0.0110
斑王大橋	110.0	0.005	0.366	0.0190
戸崎橋	139.2	0.009	0.318	0.0195

表-1 は、単位長当たりの質量を $P = 2.25 + 8/l$ とすると伴にライズ比は $t/l = 1/7$ 、 $B = 0.0154$ (表-1 の値の平均値) と固定して構造パラメータ万と $0.004 \sim 0.02$ まで変化させた場合の衝撃係数 λ_Y 、 λ_H の値を $l=60, 80, 100, 120$ m の 4 橋についてプロットしたものである。なお、図中の一点鎖線は現行



道路橋示方書の規定値である。この図を見る限りにおいては、支間が短かくなると構造パラメータ万の影響は大きくなる傾向にあると言えよう。また、これはライズ比 t/l を固定して B を固定しての万の変化は補剛桁の断面工次モーメント I_g の変化に相当すると伴に補剛アーチ橋の固有振動数の変化にも相当する。すなはち、図-3 は補剛アーチ橋の固有振動数が衝撃係数に及ぼす影響を示していることになり、固有振動数の影響は支間が短かくなるほど無視できなくなると言えよう。【参考文献】 1). 内谷・彦坂・川内亮：土木学会第35回年次講演会概要集、1980-9. 2). 服部野・吉村・江村：土木学会第30回年次講演会概要集、1975-10. 3). 平井・吉村：IABSE 第10回会議（東京）1976-9